

Resonant leptogenesis at TeV-scale and neutrinoless double beta decay

吉田 貴裕 (新潟大学)

共同研究者 淺賀 岳彦 (新潟大学)

work in progress



2018/11/01 Flavor Physics Workshop 2018 @Kavli IPMU

1. Introduction
2. Model
3. レプトン数生成
4. CPを破るパラメータとバリオン数非対称性の相関
5. ニュートリノを伴わない二重ベータ崩壊への影響
6. まとめ

- SMはTeVスケール以下の物理を精度よく記述する模型だが、問題点も存在

SMの問題点

- ニュートリノ質量が説明できない
- BAUの問題を説明できない

$$Y_B \equiv \frac{n_B}{s} = (8.677 \pm 0.054) \times 10^{-11}$$

[Planck 2016]

→ 右巻きニュートリノによるseesaw機構と
レプトン数生成機構(LG)により説明可能

M.Fukugita and T.Yanagida
Phys.Lett.B 174 (1986) 45

TeVスケールの質量を持つ右巻き νに着目

- 通常のLGは非常に重い右巻き νが必要($M_1 \gtrsim \mathcal{O}(10^9)$ GeV)

S. Davidson and A. Ibarra, Phys. Lett. B 535, 25 (2002).

- 共鳴レプトン数生成機構により十分なバリオン数が生成可能

A.Pilaftsis and T. E. J. Underwood, Null. Pays. B 692 (2004) 303

- TeVスケールでは、フレーバーの効果を考慮する必要がある



低エネルギーニュートリノ物理のCPの破れが
高エネルギーの物理と関係する

1. Introduction
2. Model
3. レプトン数生成
4. CPを破るパラメータとバリオン数非対称性の相関
5. ニュートリノを伴わない二重ベータ崩壊への影響
6. まとめ

- 標準模型 + 右巻きニュートリノ

$$\mathcal{L} = \mathcal{L}_{SM} + i\overline{\nu_{RI}}\partial_\mu\gamma^\mu\nu_{RI} - \left(F_{\alpha I}\overline{\ell_\alpha}\Phi\nu_{RI} + \frac{M_{MIJ}}{2}\overline{\nu_{RI}^c}\nu_{RJ} + h.c. \right)$$

ν_{RI} ($I = 1, 2, 3$)

$$\ell_\alpha = \begin{pmatrix} \nu_{L\alpha} \\ e_{L\alpha} \end{pmatrix} \quad (\alpha = e, \mu, \tau)$$

$$\Phi = \begin{pmatrix} \phi^0 \\ \phi^- \end{pmatrix}$$

field	Φ	ν_{RI}	l_α
L number	0	1	1

$M_M = diag(M_1, M_2, M_3)$: Majorana masses



マヨラナ質量項はレプトン数を破る

- neutrino Dirac mass

$$[M_D]_{\alpha I} = \langle \phi^0 \rangle F_{\alpha I} \quad \langle \phi^0 \rangle = \frac{v}{\sqrt{2}} \quad : \text{Higgs VEV}$$

$$v = 246 \text{ GeV}$$

- neutrino mass

$$-\mathcal{L}_{mass} = \frac{1}{2} (\overline{\nu_L}, \overline{\nu_R^c}) \hat{M} \begin{pmatrix} \nu_L^c \\ \nu_R \end{pmatrix} + h.c.$$

$$\hat{M} = \begin{pmatrix} 0 & M_D \\ M_D^T & M_M \end{pmatrix} \quad \underline{6 \times 6 \text{行列}}$$

$$M_D \ll M_M$$



ブロック対角化

$$\hat{U} = \begin{pmatrix} 1 & \Theta \\ -\Theta^\dagger & 1 \end{pmatrix}$$

$$\hat{M}^{bd} = \hat{U}^\dagger \hat{M} \hat{U}^* = \begin{pmatrix} M_\nu & 0 \\ 0 & M_N \end{pmatrix} \quad \Theta \approx M_D M_M^{-1}$$

$$\begin{cases} M_\nu \simeq -M_D M_M^{-1} M_D^T \ll M_D & \text{ニュートリノが微小な質量を持つ} \\ M_N \simeq M_M \end{cases}$$

Parameterization

$$D_\nu = U_{PMNS}^\dagger M_\nu U_{PMNS}^* = \text{diag}(m_1, m_2, m_3) \quad : \text{active } \nu \text{ masses}$$

NuFIT 3.2 (2018)

	Normal Ordering (best fit)		Inverted Ordering ($\Delta\chi^2 = 4.14$)		Any Ordering
	bfp $\pm 1\sigma$	3 σ range	bfp $\pm 1\sigma$	3 σ range	3 σ range
$\sin^2 \theta_{12}$	$0.307^{+0.013}_{-0.012}$	$0.272 \rightarrow 0.346$	$0.307^{+0.013}_{-0.012}$	$0.272 \rightarrow 0.346$	$0.272 \rightarrow 0.346$
$\theta_{12}/^\circ$	$33.62^{+0.78}_{-0.76}$	$31.42 \rightarrow 36.05$	$33.62^{+0.78}_{-0.76}$	$31.43 \rightarrow 36.06$	$31.42 \rightarrow 36.05$
$\sin^2 \theta_{23}$	$0.538^{+0.033}_{-0.069}$	$0.418 \rightarrow 0.613$	$0.554^{+0.023}_{-0.033}$	$0.435 \rightarrow 0.616$	$0.418 \rightarrow 0.613$
$\theta_{23}/^\circ$	$47.2^{+1.9}_{-3.9}$	$40.3 \rightarrow 51.5$	$48.1^{+1.4}_{-1.9}$	$41.3 \rightarrow 51.7$	$40.3 \rightarrow 51.5$
$\sin^2 \theta_{13}$	$0.02206^{+0.00075}_{-0.00075}$	$0.01981 \rightarrow 0.02436$	$0.02227^{+0.00074}_{-0.00074}$	$0.02006 \rightarrow 0.02452$	$0.01981 \rightarrow 0.02436$
$\theta_{13}/^\circ$	$8.54^{+0.15}_{-0.15}$	$8.09 \rightarrow 8.98$	$8.58^{+0.14}_{-0.14}$	$8.14 \rightarrow 9.01$	$8.09 \rightarrow 8.98$
$\delta_{CP}/^\circ$	234^{+43}_{-31}	$144 \rightarrow 374$	278^{+26}_{-29}	$192 \rightarrow 354$	$144 \rightarrow 374$
$\frac{\Delta m_{21}^2}{10^{-5} \text{ eV}^2}$	$7.40^{+0.21}_{-0.20}$	$6.80 \rightarrow 8.02$	$7.40^{+0.21}_{-0.20}$	$6.80 \rightarrow 8.02$	$6.80 \rightarrow 8.02$
$\frac{\Delta m_{3\ell}^2}{10^{-3} \text{ eV}^2}$	$+2.494^{+0.033}_{-0.031}$	$+2.399 \rightarrow +2.593$	$-2.465^{+0.032}_{-0.031}$	$-2.562 \rightarrow -2.369$	$[+2.399 \rightarrow +2.593]$ $[-2.536 \rightarrow -2.395]$

ν 湯川結合

$$F = \frac{i}{\langle \phi^0 \rangle} U_{PMNS} D_\nu^{\frac{1}{2}} \Omega M_M^{\frac{1}{2}}$$

: Casas-Ibarra parameterization
 Ω : 3×3 複素直行行列 ($\Omega^T \Omega = 1$)

[Casas,Ibarra '01]

$$U_{PMNS} = \begin{pmatrix} c_{13}c_{12} & c_{13}s_{12} & s_{13}e^{-i\delta_{cp}} \\ -c_{23}s_{12} - s_{23}s_{13}c_{12}e^{i\delta_{cp}} & c_{23}c_{12} - s_{23}s_{13}s_{12}e^{i\delta_{cp}} & s_{23}c_{13} \\ s_{23}s_{12} - c_{23}s_{13}c_{12}e^{i\delta_{cp}} & -s_{23}c_{12} - c_{23}s_{13}s_{12}e^{i\delta_{cp}} & c_{23}c_{13} \end{pmatrix} \begin{pmatrix} 1 & 0 & 0 \\ 0 & e^{i\frac{\alpha_{21}}{2}} & 0 \\ 0 & 0 & e^{i\frac{\alpha_{31}}{2}} \end{pmatrix}$$

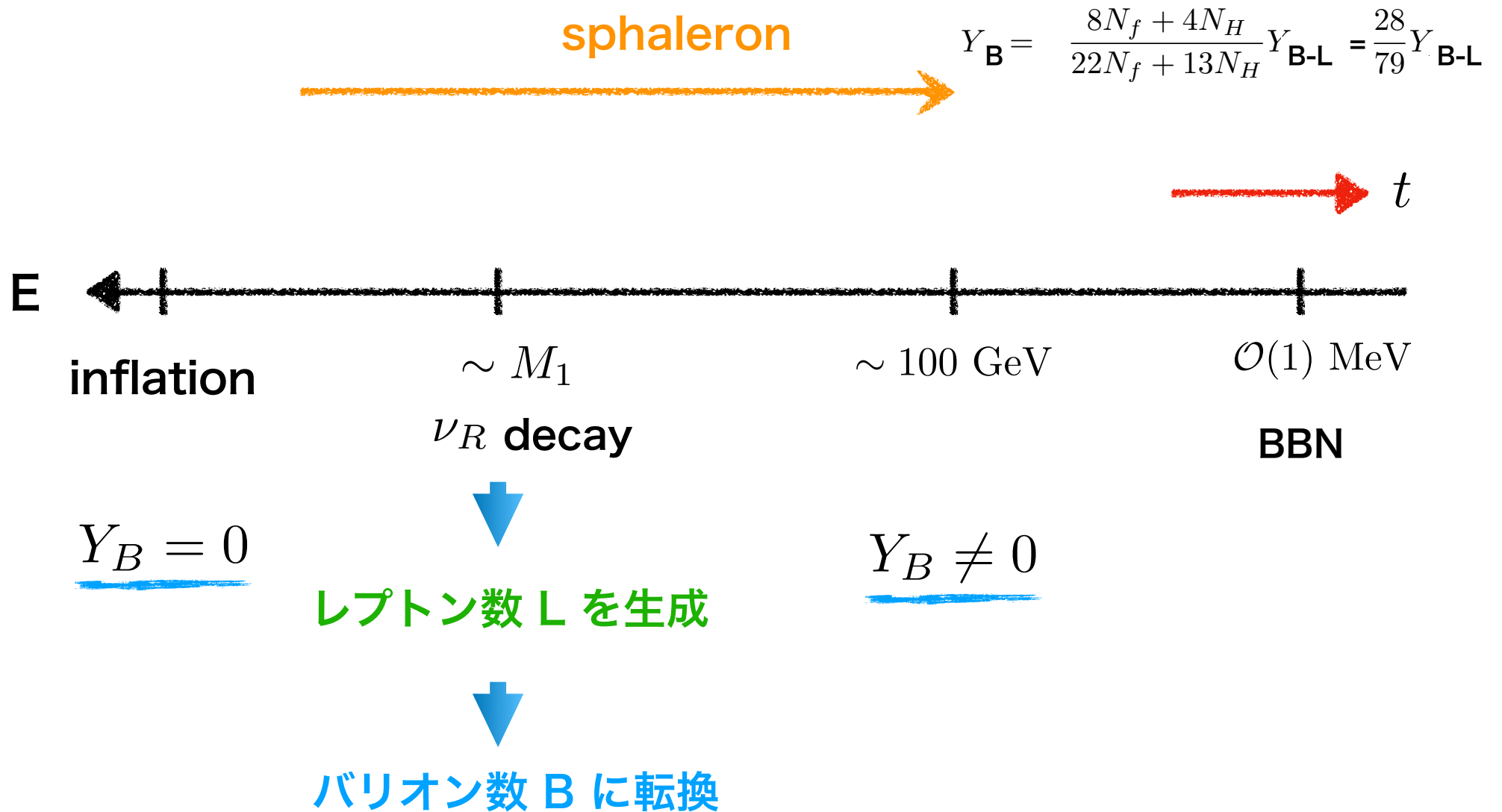
$$\begin{cases} s_{ij} = \sin \theta_{ij} \\ c_{ij} = \cos \theta_{ij} \end{cases}$$

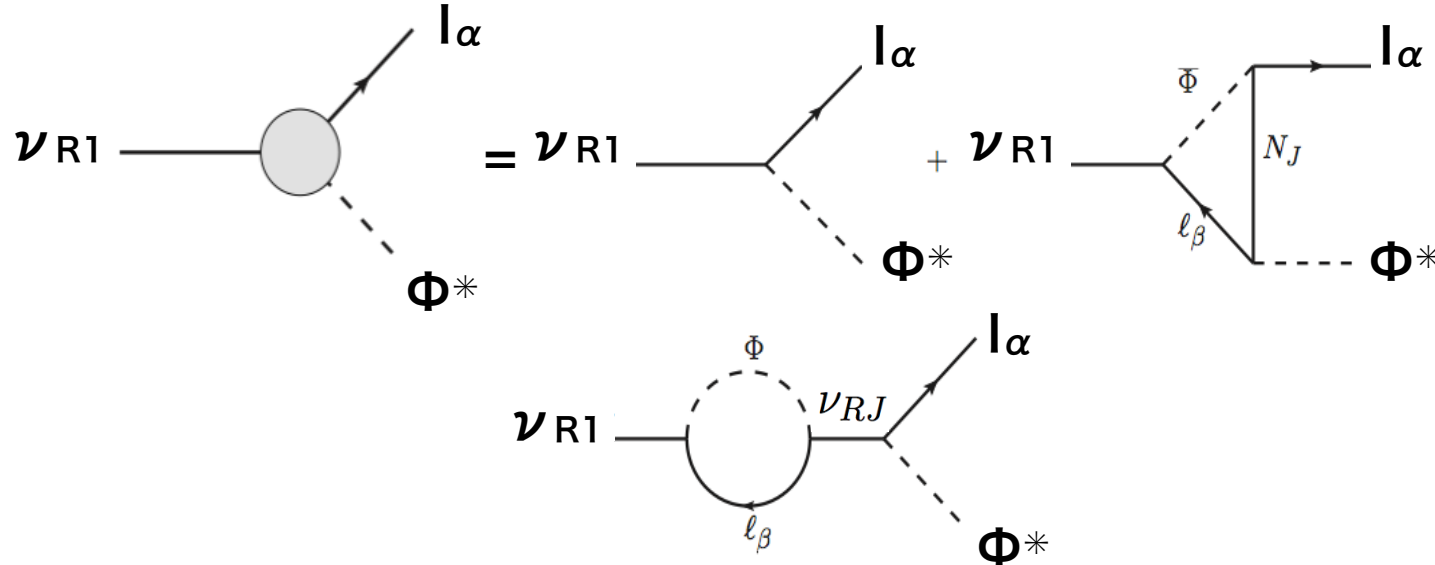
: 混合角

Dirac phase

Majorana phase

Thermal history





CP violating parameter

$$\varepsilon_1 \equiv \frac{\Gamma(\nu_{R1} \rightarrow \ell_1 + \bar{\Phi}) - \Gamma(\nu_{R1} \rightarrow \bar{\ell}_1 + \Phi)}{\Gamma(\nu_{R1} \rightarrow \ell_1 + \bar{\Phi}) + \Gamma(\nu_{R1} \rightarrow \bar{\ell}_1 + \Phi)}$$

$$= \frac{1}{8\pi} \sum_{J \neq 1} \frac{\text{Im}[(F^\dagger F)_{1J}]^2}{(F^\dagger F)_{11}} \left[I\left(\frac{M_J^2}{M_1^2}\right) + J\left(\frac{M_J^2}{M_1^2}\right) \right] \propto M_1$$

$$(M_1 \ll M_2, M_3)$$

$$I(x) = x^{\frac{1}{2}} \left\{ 1 + (1+x) \log \left(\frac{x}{1+x} \right) \right\}$$

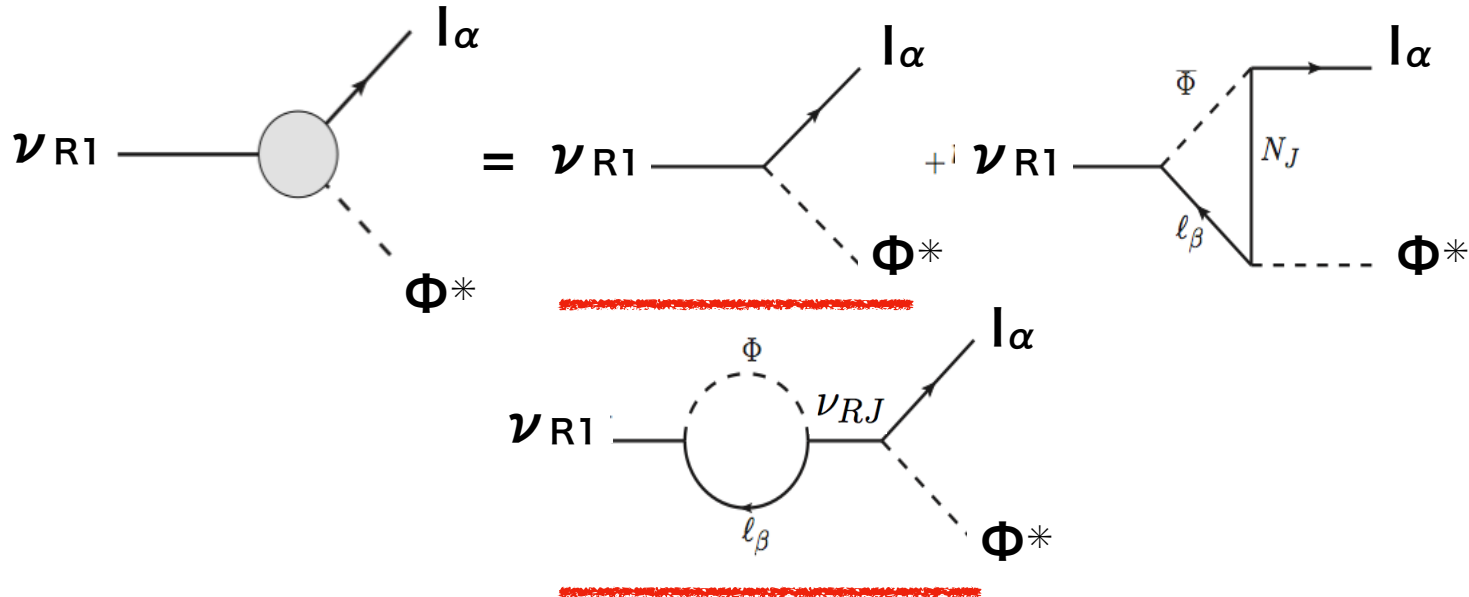
$$J(x) = \frac{x^{\frac{1}{2}}}{1-x}$$

$$\begin{cases} I(x) \rightarrow -\frac{1}{2\sqrt{x}} \\ J(x) \rightarrow -\frac{1}{\sqrt{x}} \end{cases} \quad (x \gg 1)$$



ε を大きくするには大きな M_1 が必要 ($\mathcal{O}(10^9)$ GeV)

S. Davidson and A. Ibarra, Phys. Lett. **B535**, 25 (2002).



CP violating parameter

$$\begin{aligned} \varepsilon_{\alpha I} &\equiv \frac{\Gamma(\nu_{RI} \rightarrow \ell_\alpha + \bar{\Phi}) - \Gamma(\nu_{RI} \rightarrow \bar{\ell}_\alpha + \Phi)}{\Gamma(\nu_{RI} \rightarrow \ell_I + \bar{\Phi}) + \Gamma(\nu_{RI} \rightarrow \bar{\ell}_I + \Phi)} \\ &= \frac{1}{8\pi} \frac{\text{Im}[F_{\alpha I}^* F_{\alpha J} (F^\dagger F)_{IJ}]}{(F^\dagger F)_{II}} \frac{M_I M_J (M_I^2 - M_J^2)}{(M_I^2 - M_J^2)^2 + A^2} \quad (J \neq I) \end{aligned}$$

$$|\varepsilon_{\alpha I}|_{max} = \frac{1}{8\pi} \frac{\text{Im}[F_{\alpha I}^* F_{\alpha J} (F^\dagger F)_{IJ}]}{(F^\dagger F)_{II}} \frac{M_I M_J}{2|A|}$$

regulator : $A = M_I \Gamma_I + M_J \Gamma_J$

M. Garny, A. Kartavtsev and A. Hohenegger, Annals Phys. 328 (2013) 26

S. Iso, K. Shimada, and M. Yamanaka, JHEP. 04, 062, (2014).

$$(M_I^2 - M_J^2)^2 = (M_N \Delta M)^2 = A^2$$

M_N : M_I と M_J の中心値

ΔM : M_I と M_J の質量差

Assumptions

- 二世代のRH ν がシーソーとレプトン数生成の機構を担っている
- active ν の一一番軽い質量を0とする
- ω_{IJ} が実数(CPの破れの起源がアクティブ ν セクターのみにある)

$$\Omega = \begin{pmatrix} 1 & 0 & 0 \\ 0 & \cos \omega_{23} & \sin \omega_{23} \\ 0 & -\sin \omega_{23} & \cos \omega_{23} \end{pmatrix} \quad (\text{for NH}) \quad \begin{pmatrix} \cos \omega_{12} & \sin \omega_{12} & 0 \\ -\sin \omega_{12} & \cos \omega_{12} & 0 \\ 0 & 0 & 1 \end{pmatrix} \quad (\text{for IH})$$

- Input parameters: θ_{ij} , Δm^2_{ij} (中心値) [NuFIT(2018)]

パラメータ $\left\{ \begin{array}{l} \text{Active } \nu : \delta_{CP}, \alpha_{21}-\alpha_{31}: \text{NH} (\alpha_{21}: \text{IH}) \\ \text{Sterile } \nu : R\omega_{23}: \text{NH} (R\omega_{12}: \text{IH}) \end{array} \right.$

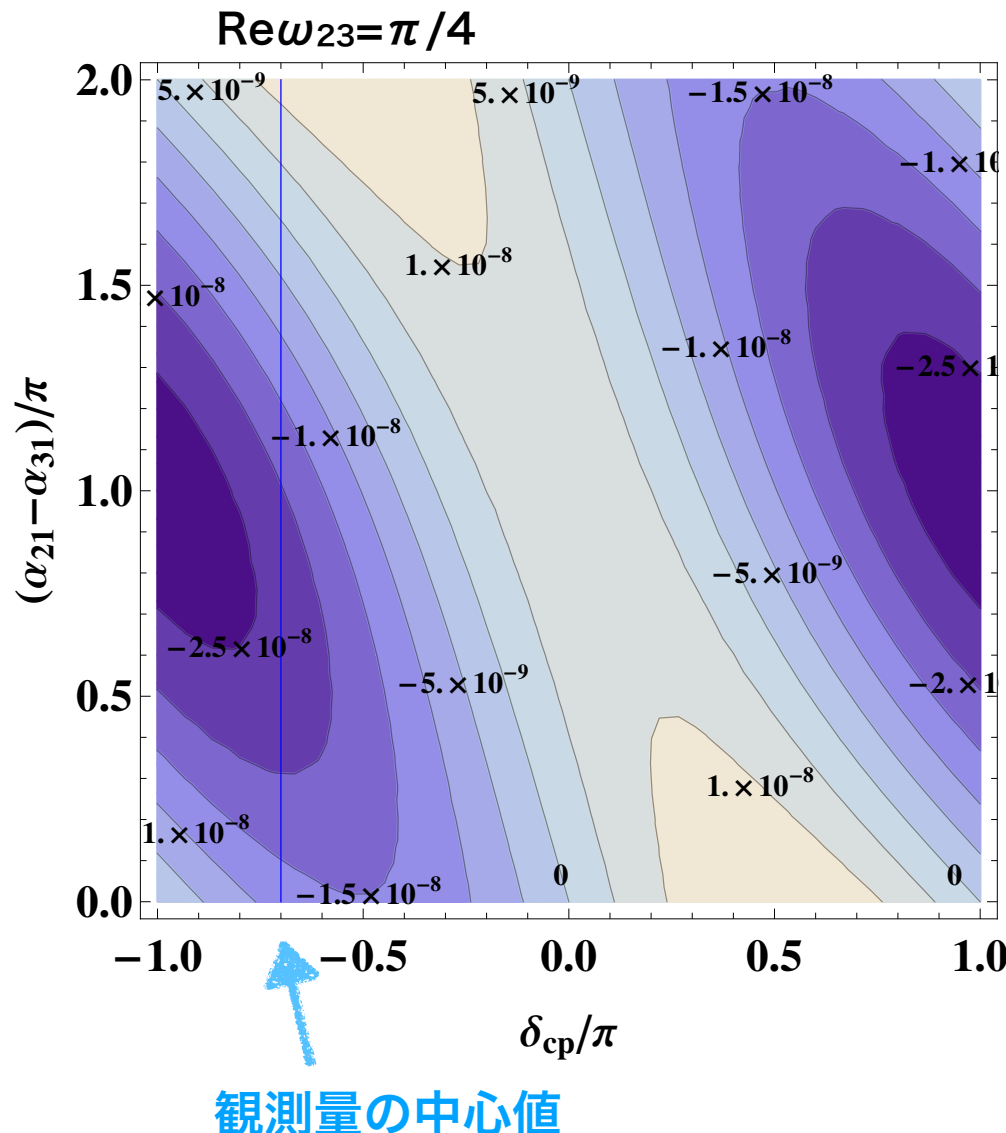
- パラメータごとに最大となるBAUの生成量を見積もる(常に ΔM を最小にする)

$$M_N = 1 \text{ TeV}$$

$$\Delta M = \frac{M_I \Gamma_I + M_J \Gamma_J}{2M_N}$$

δ_{cp} and Majorana phase

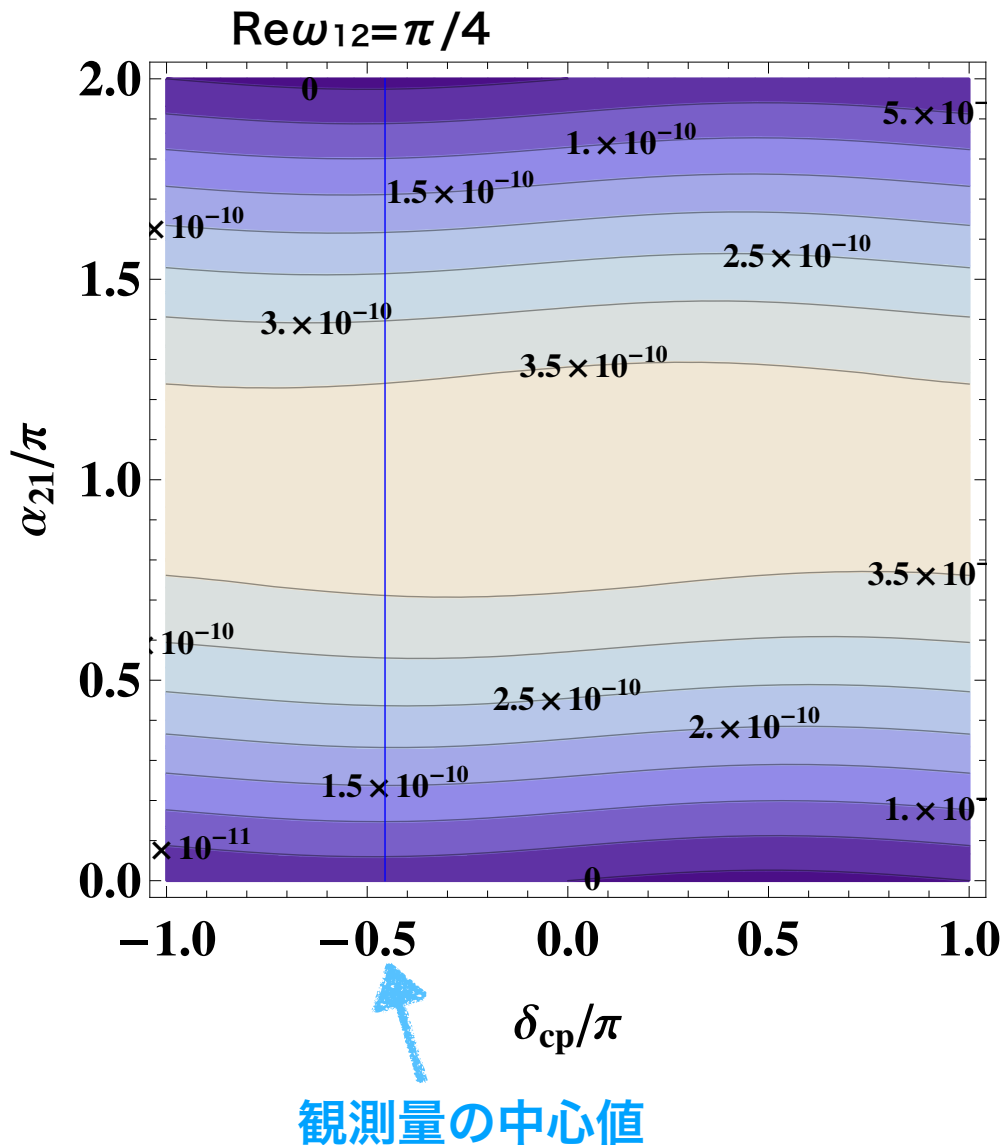
NH case



- Y_B の最大値は $O(10^{-8})$
 - baryon asymmetry の生成量は Dirac phase(δ_{cp})と Majorana phase の両方に依存する。
- 加速器ニュートリノ実験 (T2K, ...)により Dirac phase を決定することは、 baryon asymmetry を予言する上で重要な input になる。

δ_{cp} and Majorana phase

IH case



- Y_B の最大値は $O(10^{-10})$
 - baryon asymmetry の生成量は Dirac phase(δ_{cp})にほとんど依存しない。
 - Dirac phase(δ_{cp})だけでは baryon asymmetry を説明することはできない。

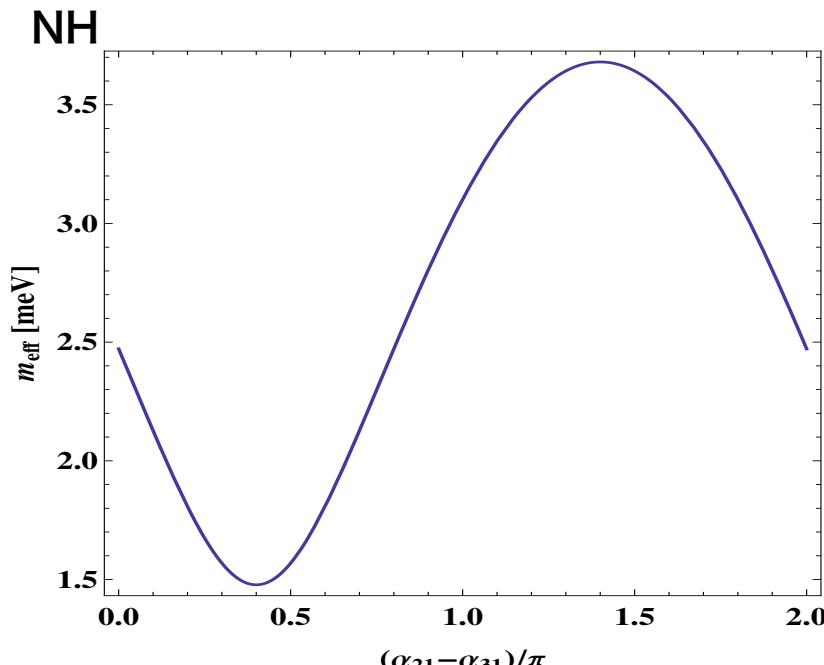
▶ バリオン数非対称性の観測量により Majorana phase に制限が与えられる。

0νββ decay

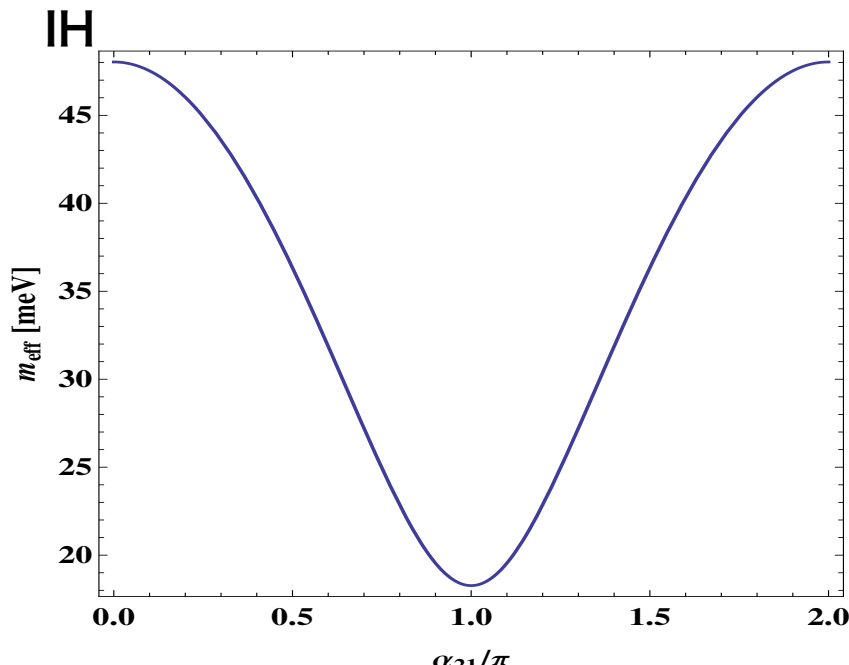
- シーソー機構では、アクティブルはMajorana fermion になる
- Majorana fermionだとレプトン数が破れている
- レプトン数が破れないと、ニュートリノを伴わない二重ベータ崩壊が起きる(0νββ崩壊) $(A, Z) \rightarrow (A, Z + 2) + 2e^-$

Effective neutrino mass of 0νββ

$$m_{\text{eff}} = \left| \sum_i m_i U_{ei}^2 \right|$$

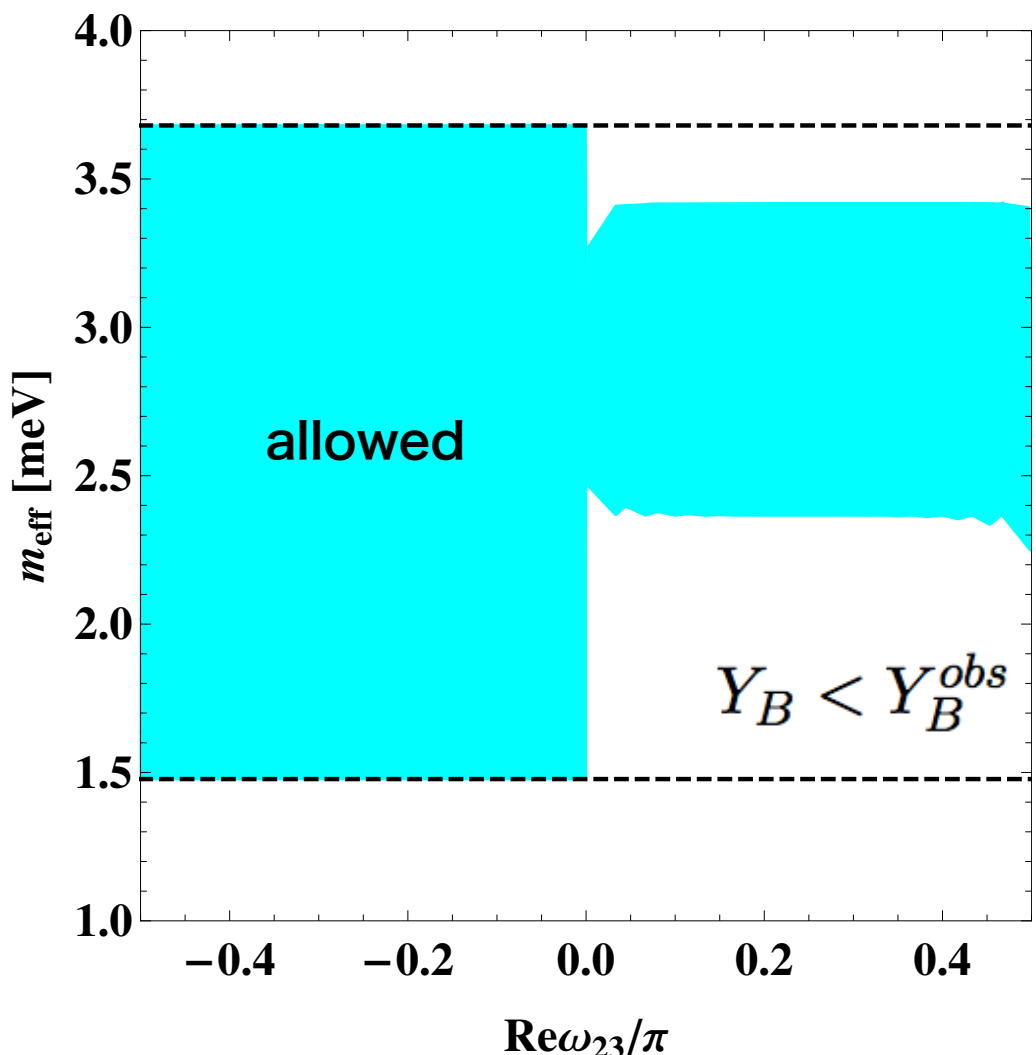


$\Gamma_{0\nu\beta\beta} \propto m_{\text{eff}}^2$



$0\nu\beta\beta$ decayの有効質量への影響

NH case



BAUが m_{eff} に与える制限

BAUの条件を課さなければ点線の間の領域全てが許される

$\text{Re } \omega_{23} < 0$ の時:

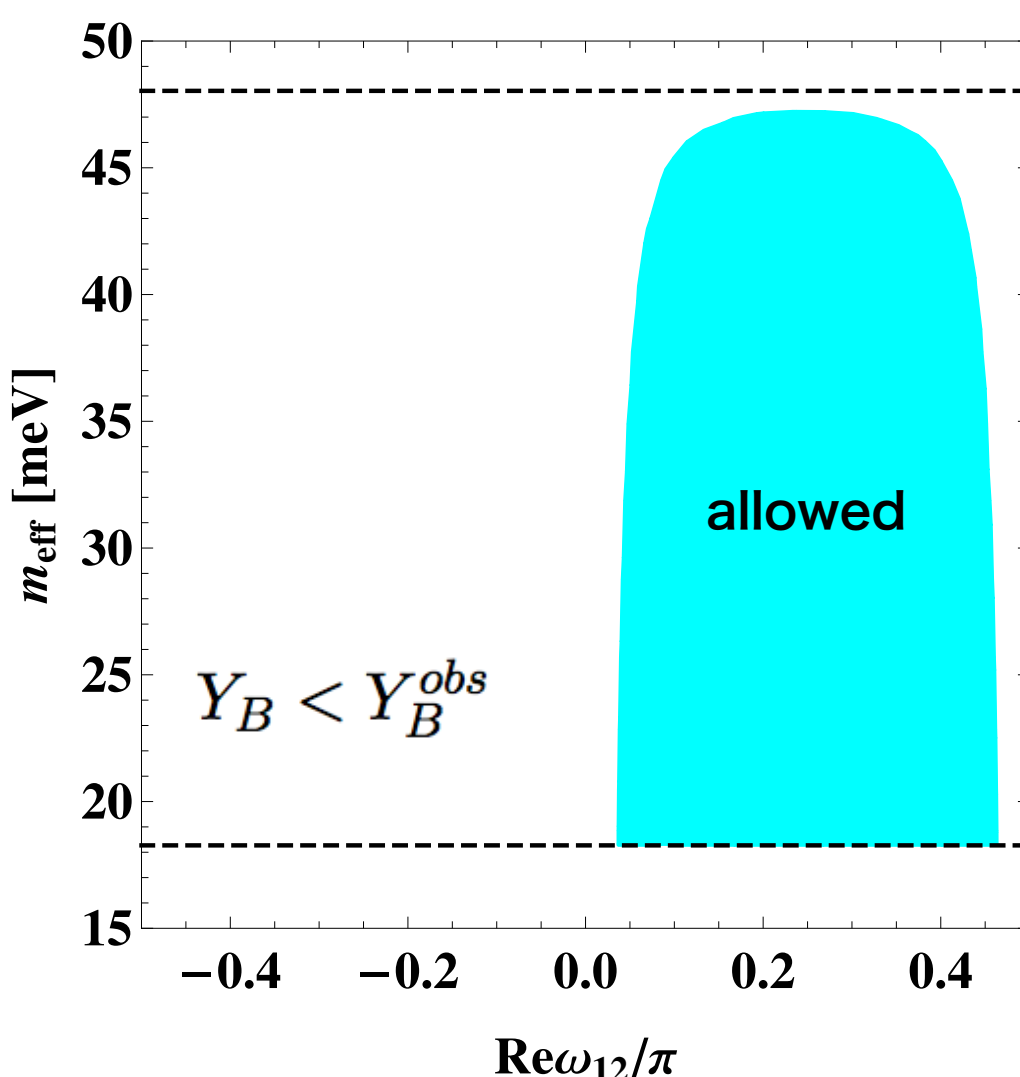
m_{eff} の範囲は影響を受けない

$\text{Re } \omega_{23} > 0$ の時:

BAUから m_{eff} には上限と下限がつ
く

$0\nu\beta\beta$ decayの有効質量への影響

IH case



BAUが m_{eff} に与える制限

BAUの条件を課さなければ点線の間の領域全てが許される

$\text{Re}\omega_{23}>0$ の時のみBAUを説明できる

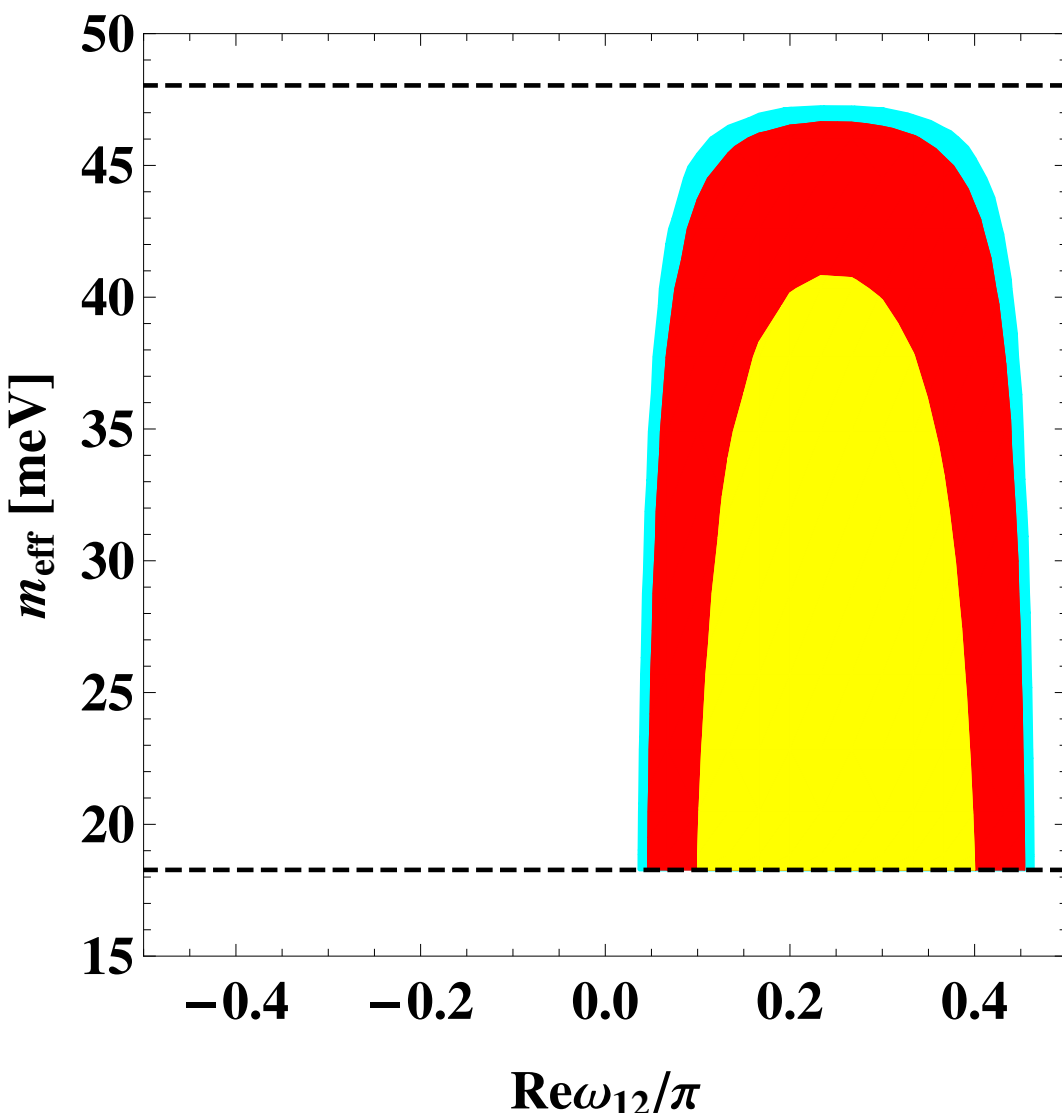
BAUにより m_{eff} には上限が存在する

- ・TeVスケールの共鳴レプトン数生成機構を考えた.
- ・右巻きニュートリノの質量がTeVスケールであっても、BAUを説明するのに十分なバリオン数が生成できることがわかった.
- ・バリオン数非対称性がPMNS行列に含まれるCPVパラメータとどのように相関しているかを示した.
- ・ $0\nu\beta\beta$ 崩壊のニュートリノ有効質量の範囲はバリオン数非対称性の観測量を説明するために制限されることを示した。

Back up

$0\nu\beta\beta$ decay

IH case



BAUが m_{eff} に与える制限

BAUの条件を課さなければ点線の間の領域全てが許される

$\text{Re}\omega_{23}>0$ の時のみBAUを説明できる

m_{eff} には上限が存在する

ΔM を最小のときより少し大きくすると m_{eff} の上限は、より下がる

m₃=0

$$\begin{aligned} \Im[F_{\alpha 1}^* F_{\alpha 2} (F^\dagger F)_{12}] = & \frac{M_1 M_2}{\langle \Phi \rangle^4} \frac{1}{2} \left[(m_1^2 |U_{\alpha 1}|^2 - m_2^2 |U_{\alpha 2}|^2) \sin 2\Re\omega_{12} \sinh 2\Im\omega_{12} \right. \\ & + \sqrt{m_1 m_2} \{ (m_1 + m_2) \Re[U_{\alpha 1}^* U_{\alpha 2}] \cos 2\Re\omega_{12} \sinh 2\Im\omega_{12} \\ & \left. + (m_1 - m_2) \Im[U_{\alpha 1}^* U_{\alpha 2}] \sin 2\Re\omega_{12} \cosh 2\Im\omega_{12} \} \right] \end{aligned}$$

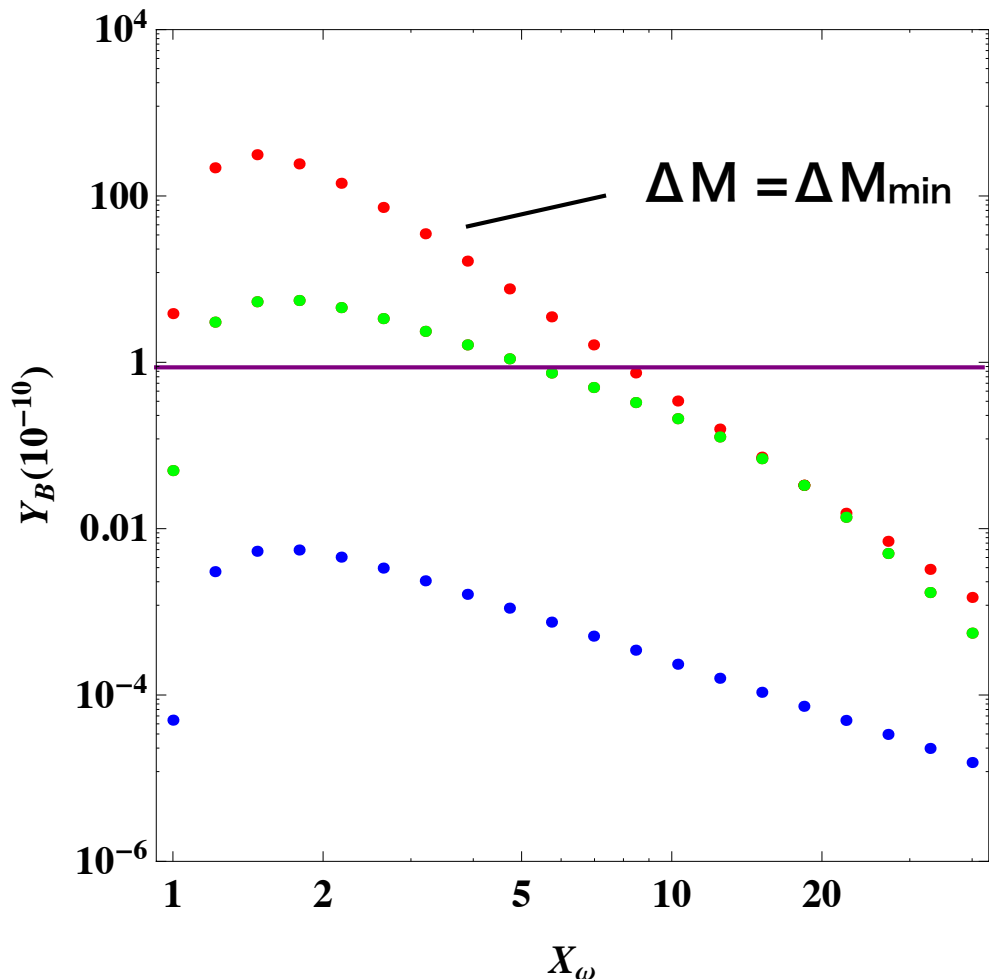
$$U_{PMNS} = \begin{pmatrix} c_{13}c_{12} & c_{13}s_{12} & s_{13}e^{-i\delta_{cp}} \\ -c_{23}s_{12} - s_{23}s_{13}c_{12}e^{i\delta_{cp}} & c_{23}c_{12} - s_{23}s_{13}s_{12}e^{i\delta_{cp}} & s_{23}c_{13} \\ s_{23}s_{12} - c_{23}s_{13}c_{12}e^{i\delta_{cp}} & -s_{23}c_{12} - c_{23}s_{13}s_{12}e^{i\delta_{cp}} & c_{23}c_{13} \end{pmatrix} \begin{pmatrix} 1 & 0 & 0 \\ 0 & e^{i\frac{\alpha_{21}}{2}} & 0 \\ 0 & 0 & e^{i\frac{\alpha_{31}}{2}} \end{pmatrix}$$

ϵ_1 (Normal hierarchy)

$m_1=0$

$$\begin{aligned}\Im \left[F_{\alpha 2}^* F_{\alpha 3} (F^\dagger F)_{23} \right] = & \frac{M_2 M_3}{\langle \Phi \rangle^4} \frac{1}{2} \left[\left(m_2^2 |U_{\alpha 2}|^2 - m_3^2 |U_{\alpha 3}|^2 \right) \sin 2\Re \omega_{23} \sinh 2\Im \omega_{23} \right. \\ & + \sqrt{m_2 m_3} \left\{ (m_2 + m_3) \Re [U_{\alpha 2}^* U_{\alpha 3}] \cos 2\Re \omega_{23} \sinh 2\Im \omega_{23} \right. \\ & \left. \left. + (m_2 - m_3) \Im [U_{\alpha 2}^* U_{\alpha 3}] \sin 2\Re \omega_{23} \cosh 2\Im \omega_{23} \right\} \right]\end{aligned}$$

dependence on $\text{Im}\omega$ (IH case)



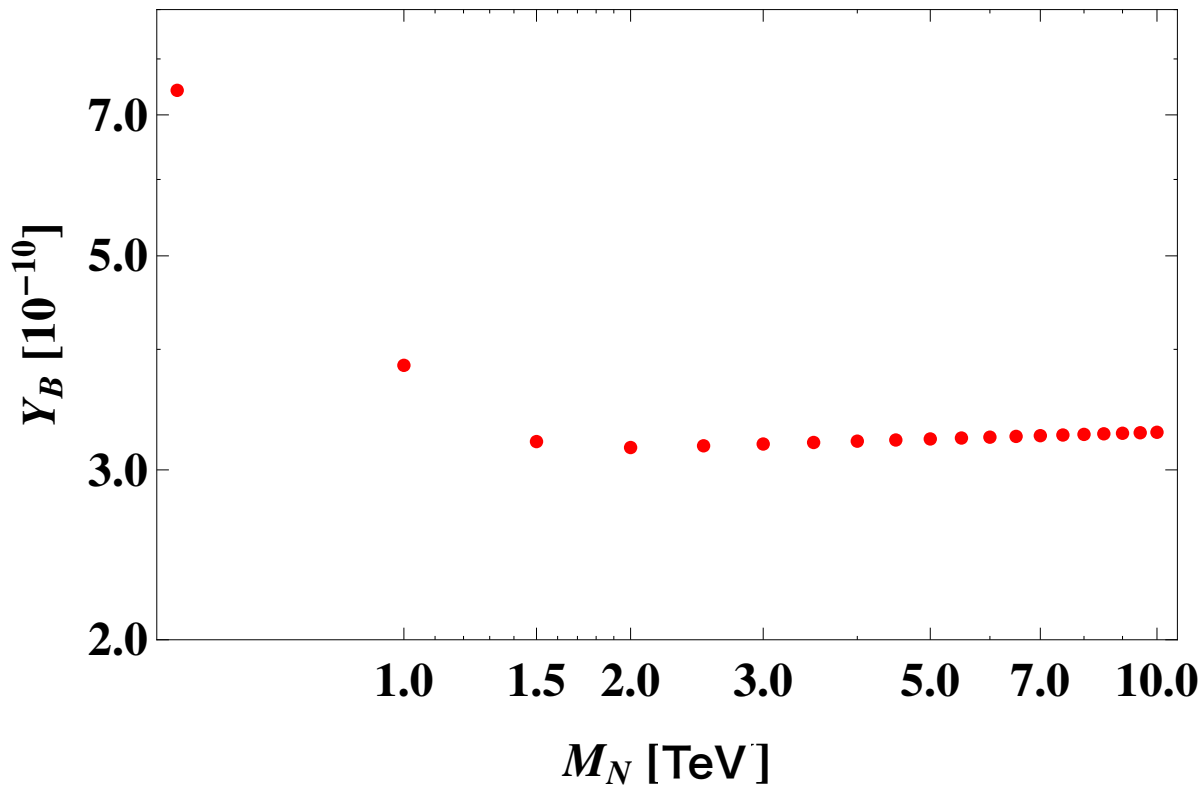
$\text{Im}\omega \gg 1$

$$F \propto X_\omega = e^{\text{Im}\omega}$$

$$X_\omega \sim O(1)$$

sufficient baryon number
can be generated

dependence on M_N



When ΔM is minimized,
 $M_N > 1.5$ TeV
 Y_B is almost independent
on M_N .

$M_N < 1.5$ TeV
Wash out effect is
not effective.

Boltzmann equation

$$\begin{aligned}
 \frac{dY_{N_I}}{dz} &= -\frac{z}{sH(M_1)} \left\{ \left(\frac{Y_{N_I}}{Y_{N_I}^{eq}} - 1 \right) (\gamma_{N_I} + 2\gamma_{N_I t}^{(1)} + 4\gamma_{N_I t}^{(2)}) \right. \\
 &\quad \left. + \sum_J \left(\frac{Y_{N_I}}{Y_{N_I}^{eq}} \frac{Y_{N_J}}{Y_{N_J}^{eq}} - 1 \right) (\gamma_{N_I N_J}^{(1)} + \gamma_{N_I N_J}^{(2)}) \right\} \\
 \frac{dY_{X_\alpha}}{dz} &= -\frac{z}{sH(M_1)} \left\{ \sum_I \left(\frac{Y_{N_I}}{Y_{N_I}^{eq}} - 1 \right) \varepsilon_I^\alpha \gamma_{N_I} + \sum_\beta \left[\sum_I \left(\frac{1}{2} (C_{\alpha\beta}^\ell - C_\beta^\Phi) \gamma_{N_1}^\alpha \right. \right. \right. \\
 &\quad \left. \left. + \left(C_{\alpha\beta}^\ell \frac{Y_{N_I}}{Y_{N_I}^{eq}} - \frac{C_\beta^\Phi}{2} \right) \gamma_{N_1 t}^{(1)\alpha} + \left(2C_{\alpha\beta}^\ell - \frac{C_\beta^\Phi}{2} \left(1 + \frac{Y_{N_I}}{Y_{N_I}^{eq}} \right) \right) \gamma_{N_1 t}^{(2)\alpha} \right) \right. \\
 &\quad \left. \left. + \sum_\gamma \left((C_{\alpha\beta}^\ell + C_{\gamma\beta}^\ell - 2C_\beta^\Phi) (\gamma_N^{(1)\alpha\gamma} + \gamma_N^{(2)\alpha\gamma}) + \sum_{I,J} (C_{\alpha\beta}^\ell - C_{\gamma\beta}^\ell) \gamma_{N_I N_J}^{(1)\alpha\gamma} \right) \right] \frac{Y_{X_\beta}}{Y^{eq}} \right\}
 \end{aligned}$$

$$C^\ell = \frac{1}{711} \begin{pmatrix} -211 & 16 & 16 \\ 16 & -211 & 16 \\ 16 & 16 & -211 \end{pmatrix}, \quad C^\Phi = \frac{8}{79} (1, 1, 1)$$

Equilibration temperatures

T_{ss}	2.4×10^{13} GeV	strong sphaleron
T_{ws}	1.8×10^{12} GeV	weak sphaleron
T_b	4.2×10^{12} GeV	bottom-quark Yukawa
T_c	3.8×10^{11} GeV	charm-quark Yukawa
T_s	2.5×10^9 GeV	strange-quark Yukawa
T_u	1.9×10^6 GeV	up-quark Yukawa
T_d	8.8×10^6 GeV	down-quark Yukawa
T_τ	3.7×10^{11} GeV	τ -lepton Yukawa
T_μ	1.3×10^9 GeV	μ -lepton Yukawa
T_e	3.1×10^4 GeV	electron Yukawa

Table 1. Equilibration temperatures T_X for Yukawa- and instanton-mediated SM processes. Methods of the calculations and uncertainties are discussed in the text. Partial equilibration is relevant when the freeze-out of the lepton asymmetry happens at temperatures between T_X and $20 T_X$.

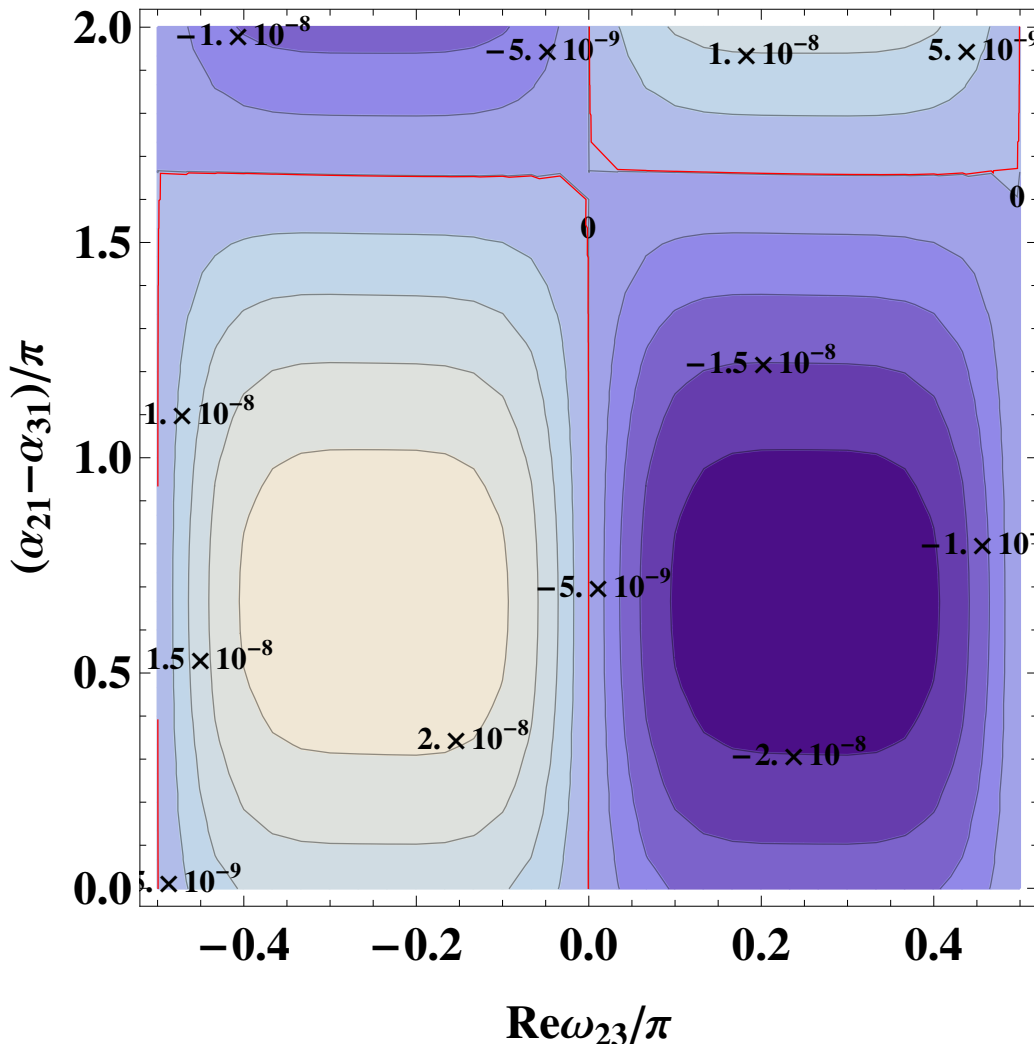
B. Garbrecht and P. Schwaller, JCAP **1410** (2014) no.10, 012

- We will investigate the impact of quantum effect and right-handed neutrino oscillation on yield of baryon asymmetry by using Kdanoff-Baym equation.
- We want to investigate other CP-violating process with this model.

Rew and Majorana位相

NH case

$\delta \text{cp} = 234^\circ$ (中心値)

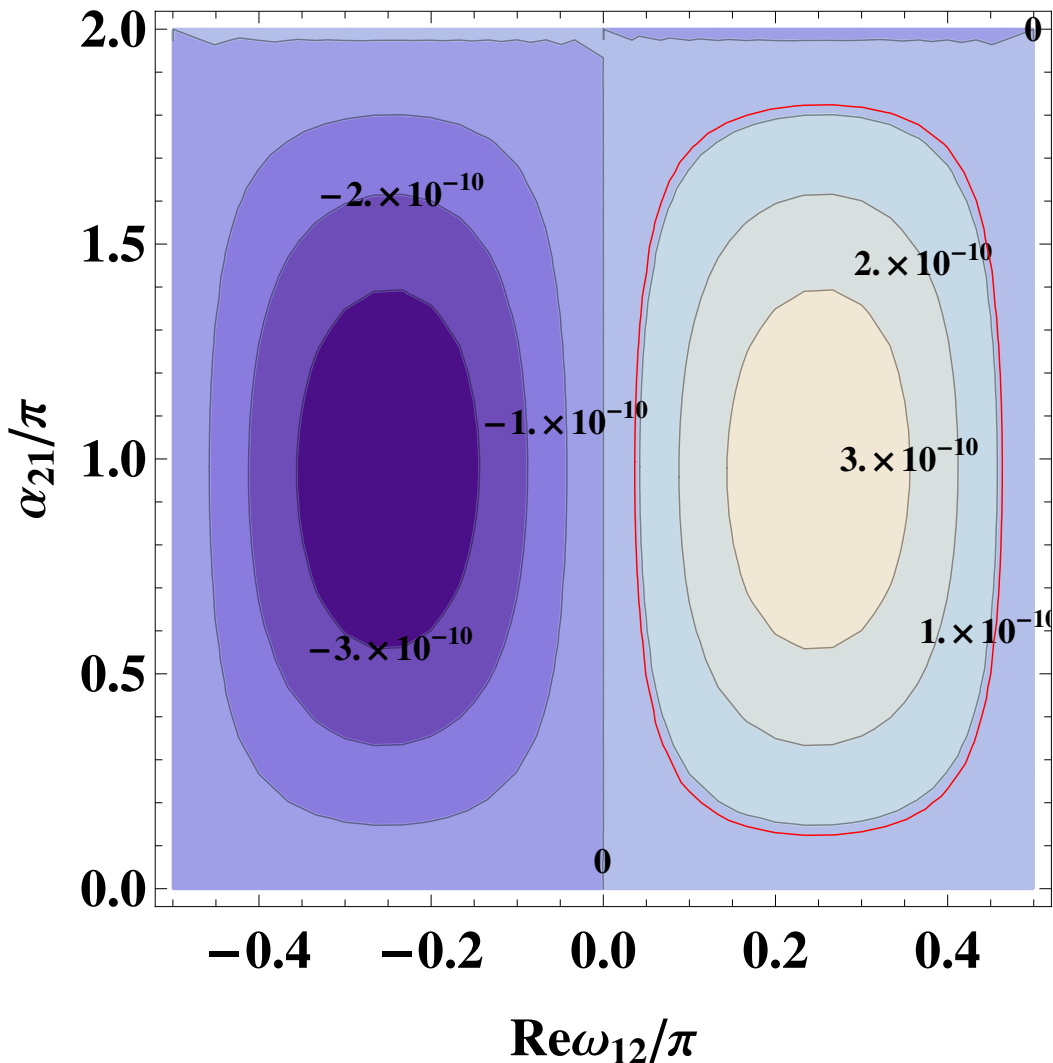


- 最大で $Y_B \sim O(10^{-8})$ 生成される
- 赤い線で囲まれるよりも内側の領域で BAU は説明可能
- $\text{Re}\omega_{23} < 0$ と $\text{Re}\omega_{23} > 0$ の両方で BAU の観測値を説明できる領域が存在

Rew and Majorana位相

IH case

$$\delta \text{cp} = 278^\circ \text{ (中心値)}$$



- ・最大で $Y_B \sim O(10^{-10})$ 生成される
- ・赤い線で囲まれるよりも内側の領域で BAU は説明可能
- ・ $\text{Re}\omega_{12} > 0$ のみに BAU の観測値を説明できる領域が存在

Parameterization

$$D_\nu = U_{PMNS}^\dagger M_\nu U_{PMNS}^* = \text{diag}(m_1, m_2, m_3) \quad : \text{active } \nu \text{ masses}$$

$$\begin{aligned} D_\nu &= U_{PMNS}^\dagger M_\nu U_{PMNS}^* \\ &= -U_{PMNS}^\dagger M_D M_M^{-1} M_D^T U_{PMNS}^* \\ &= -\langle \phi^0 \rangle^2 U_{PMNS}^\dagger F M_M^{-1} F^T U_{PMNS}^* \\ \mathbf{1} &= \frac{(-i\langle \phi^0 \rangle D_\nu^{-\frac{1}{2}} U_{PMNS}^\dagger F M_M^{-\frac{1}{2}})}{\downarrow} \frac{(-i\langle \phi^0 \rangle M_M^{-\frac{1}{2}} F^T U_{PMNS}^* D_\nu^{-\frac{1}{2}})}{= \Omega} = \Omega^T \end{aligned}$$

ν 湯川結合

$$F = \frac{i}{\langle \phi^0 \rangle} U_{PMNS} D_\nu^{\frac{1}{2}} \Omega M_M^{\frac{1}{2}}$$

: Casas-Ibarra parameterization

Ω : 3×3 複素直行行列 ($\Omega^T \Omega = 1$)

[Casas,Ibarra '01]